

شبیه‌سازی و بررسی نانوکامپوزیت پلیمری تقویت شده با نانولوله‌های کربنی و نانوهلیکال‌های کربنی

انسیه یوسفی (دانشجوی کارشناسی ارشد)

مجدید بنی‌اسدی^{*} (استادیار)

مصطفی مهدوی (دانشجوی کارشناسی ارشد)

مصطفی باخانی (استادیار)

قادر فرجی (استادیار)

دانشکده‌ی هندسی مکانیک، بردس دانشکده‌های فنی، دانشگاه تهران

نانولوله‌های کربنی^۱ (CNT) و نانوهلیکال‌های کربنی^۲ (CCNT) خواص استثنایی دارند و باعث بهبود خواص مکانیکی، حرارتی و الکتریکی نانوکامپوزیت‌ها می‌شوند و از همین رو، اخیراً مطالعات زیادی ر��이 آن‌ها صورت می‌گیرد. در این مقاله با استفاده از گذشته‌ی پایتون و مدل‌سازی چند مقایسه در نرم‌افزار آباکوس^۳ نمودار تنش - کربنی نانوکامپوزیت‌های شبیه‌سازی شده، به دست آمده است. تأثیر هندسه‌ی تقویت‌کننده‌ها که به دو صورت نانولوله و نانوهلیکال مدل شده‌اند و نیز درصد حجمی^۴ هریک از آن‌ها بر خواص مکانیکی نانوکامپوزیت‌ها با شرط اتصال کامل بررسی شده است. نتایج به دست آمده حاکی از افزایش مدول کشسان با افزایش ضریب حجمی تقویت‌کننده‌هاست. همچنین نتایج حاصل از شبیه‌سازی‌های نشان‌دهنده‌ی کاهش مدول کشسان نانوکامپوزیت تقویت‌شده نانوهلیکال‌ها نسبت به نانولوله‌هاست. در واقع با افزایش زاویه‌ی پیچ نانوهلیکال‌ها خاصیت تقویت‌کننده‌ی آن‌ها بهتر می‌شود.

ensieh.yousefi@student.kuleuven.be
m.baniassadi@ut.ac.ir
mostafa.mahdavi@gatech.edu
baghani@ut.ac.ir
ghfaraaji@ut.ac.ir

واژگان کلیدی: نانوکامپوزیت، کربن نانولوله، کربن نانوهلیکال، خواص مکانیکی.

۱. مقدمه

ذرات نانوفازی - خاصیت تقویت‌کننده‌ی بهتری دارند.^[۱-۶] خواص نانوکامپوزیت‌های تقویت‌شده با نانولوله‌های کربنی به عوامل زیادی از جمله جنس پلیمر پایه، نحوه توزیع، نسبت طول به قطر^۵، هندسه و ضریب حجمی نانولوله‌ها و نحوه اتصال آن‌ها به ماتریس بستگی دارد. هگنسولبر^۶ و همکارانش^[۷] با بررسی مدول کشسان حین سنتزهای خود ساختار جدیدی از کربن به شکل لوله را مشاهده کرد، که باعث کشف نانولوله‌های کربنی شد. پس از آن محققین توجه ویژه‌ی به نانولوله‌های کربنی داشتند و بررسی‌های زیادی روی این مواد انجام دادند. آنها در حین انجام آزمایش‌ها متوجه خواص فوق‌العاده‌ی مکانیکی از جمله مدول کشسان بسیار بالا^[۸-۱۰] خواص الکتریکی^[۱۱] و حرارتی فوق‌العاده به همراه چگالی پایین^[۱۲] این مواد شدند. همین خواص باعث شد که این مواد به عنوان تقویت‌کننده‌ی مناسب برای بهبود خواص مکانیکی، حرارتی و الکتریکی در نانوکامپوزیت‌ها معرفی شود.^[۱۳] آزمایش‌های گوناگون انجام شده نشان می‌دهد نانولوله‌های کربنی نسبت به سایر مواد - نظری توانستند نانوهلیکال‌ها را به صورت منظم تولید کنند.^[۱۴] نانوهلیکال‌ها برای اولین بار در سال ۱۹۹۸، توسط میکروسکوپ تونلی روبشی^{۱۲} (STM) مشاهده شدند.^[۱۵] اخیراً محققین توجه ویژه‌ی به نانوکامپوزیت‌های تقویت‌شده با نانوهلیکال‌های کربنی

* نویسنده مسئول

تاریخ: دریافت ۱۲/۲/۱۳۹۵، اصلاحیه ۱۳/۳/۱۳۹۶، پذیرش ۱۰/۱۳۹۶

DOI:10.24200/J40.2018.6418

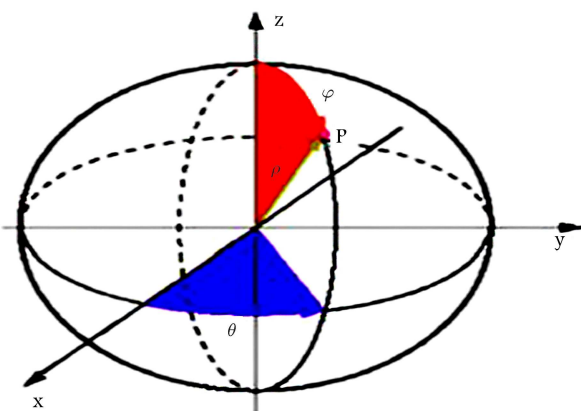
شده در نرم افزار Matlab تقویت کننده ها به صورت توزیع تصادفی با استفاده از روش مونت کارلو^{۳۰} در RVE قرار گرفتند. برای توزیع تصادفی مرکز هر یک از تقویت کننده ها به صورت تصادفی در داخل فضای جزء نماینده حجم به صورتی انتخاب شده که با توجه به طول نانو ذرات هیچ یک از نانو ذرات سطح جزء نماینده حجم را قطع نکند. هر یک از نانولله ها با یک بردار عمود بر سطح مقاطع دایره بی خود مشخص شده است، که جهات این بردار در فضای سه بعدی معملاً معادلات تصادفی همگن تعیین شده است:^[۲۳]

$$\begin{cases} \theta = 2\pi v \\ \varphi = \text{Arccos}(2u - 1) \end{cases} \quad (1)$$

که در آن u و v مقادیر تصادفی بین $[0, 1]$ هستند، بنابراین $[0, 2\pi] \in \theta$ و $[0, \pi] \in \varphi$ در شکل ۱ این مقادیر در دستگاه مختصات قطبی نشان داده شده است. پس از مشخص شدن نقاط مرکزی و جهات هر یک از نانو ذرات به صورت تصادفی، با استفاده از نقاط ابتدا و انتهای هر یک از نانو ذرات مشخص شده است. خروجی کد Matlab یک فایل متغیر حاوی مختصات نقاط ابتدایی، انتهایی و شعاع هر یک از نانوذرات است؛ برای نانوذرات هلیکالی گام پیچ نیز در این فایل متغیر وجود دارد.

پس از آن که پایتون این فایل متغیر را به عنوان ورودی دریافت کرده و جزء نماینده حجم مورد نظر را در نرم افزار آباکوس ایجاد می کند. در کد پایتون علاوه بر ساخت و مونتاژ قسمت های مختلف و اعمال خواص مورد نظر به هر بخش از RVE سطوح موجود در نانو کامپوزیت شناخته شده و به هر دو سطح مناسب اتصال کامل^{۲۱} اعمال شده است.

RVE در نرم افزار ABAQUS ۶.۱۳ در نسبت های حجمی متفاوت در سه نوع تقویت کننده با هندسه های متفاوت ایجاد شده است. برای تمام نمونه ها اتصالات به صورت کامل در نظر گرفته شده و نمودار تنش - کرنش برای هر یک رسم شده است. به عنوان نمونه در شکل ۲ دو نانو کامپوزیت شبیه سازی شده دیده می شود. اندازه هی جزء نماینده حجم را باید به عنوان پارامتری بسیار مهم در مدل سازی در نظر گرفت. اندازه هی جزء نماینده حجم اگر کوچک باشد نمی تواند نماینده می شود. مناسبی برای تعیین خواص نانو کامپوزیت باشد. در نتیجه جواب های به دست آمده از آن دقیق و درست نیستند. اگر اندازه هی جزء نماینده حجم بزرگ باشد هزینه و زمان محاسبات بسیار بالا می رود. در نتیجه باید در انتخاب این اندازه دقت کافی داشت. در تمامی مدل ها اندازه جزء نماینده حجم بین ۳ تا ۵ برابر بزرگ ترین طول



شکل ۱. راستای بردار در مختصات قطبی برای توزیع تصادفی تقویت کننده ها.^[۲۳]

به دلیل خواص فوق العاده و هندسه منحصر به فرد نانو هلیکال ها دارند.^[۲۴-۲۲, ۷] لی^{۱۳} و همکارانش^[۲۲] با استفاده از روش CVD نانو هلیکال های کربنی تولید کرده و آن ها را به رزین اپوکسی اضافه کردن؛ سپس به وسیله میکروسکوپ نیروی اتمی^{۱۴} و آزمون کشش، خواص مکانیکی نمونه ها را به دست آورده اند. نتایج حاصله نشان دهنده بی ترتیب افزایش ۱۰٪ / ۴۸٪ / ۴۱٪ مقاومت کششی، سختی و مدول کشسان تنها با اضافه کردن ۵٪ نانو هلیکال ها به رزین است. لای^{۱۵} و همکارانش خواص مکانیکی اپوکسی را با اضافه کردن نانو هلیکال کربنی به آن بهبود دادند. نتایج آنها نشان می دهد که سختی و یکرزر نمونه های دارای ۲ درصد نانو هلیکال کربنی به طور متوسط ۵۰٪ افزایش یافته است. شکست خمشی نمونه تقویت شده با نانو هلیکال کربنی نسبت به اپوکسی کاهش یافته ولی نسبت به نمونه تقویت شده با نانولله های کربنی بیشتر است.^[۱۶]

انجام آزمایش ها برای درک رفتار نانو کامپوزیت ها در مقایس نانو کار بسیار دشوار و در بعضی موارد غیر ممکن است. یکی از راه های درک سازو کار رفتاری آن ها استفاده از روش های تحلیلی، شبیه سازی و عددی است. اشلبی^{۱۶}، موری^{۱۷} و هالپین - تسى^{۱۸} از جمله روش های تحلیلی اند. دینامیک مولکولی^{۱۹} (MD)، مکانیک مولکولی^{۲۰} (MM)، مکانیک پیوسته^{۲۱} و مدل سازی سلسه مراتبی روشی متناسب برای مطالعه های نانو و ماکروسzt. در مدل سازی سلسه مراتبی، فیزیک و خواص مکانیکی نانو کامپوزیت در نظر گرفته می شود که پلی میکراسی های نانو و ماکروسzt.

در بسیاری از مدل سازی های عددی اتصال بین ماتریس و تقویت کننده ها به صورت اتصال و پیوند کامل در نظر گرفته شده است.

چن^{۲۲} و همکارانش^[۲۴] از دینامیک مولکولی برای مطالعه از نانولله های تک دیواره^{۲۳} (SWNT) و پلی فنیل استیلن^{۲۴} (PPA) استفاده کرده اند. در بعضی از مطالعات^[۲۵-۲۷] اتصالات بین نانولله ها و ماتریس به صورت غیر کووالانسی در نظر گرفته شده است. فارنکلند^{۲۵} و همکارانش^[۲۲] نشان دادند تها با افزودن ۱٪ نانولله ها به پلی اتیلن مقاومت برشی آن ۱۰ برابر می شود. خانی و همکارانش با استفاده از روش اجرای محدود تأثیر هندسه نانو هلیکال های کربنی را روی مدول کشسان نانو کامپوزیت ها بررسی کردند. در این مقاله با افزایش زاویه پیچ نانو هلیکال های کربنی مدول کشسان نمونه ها تقویت کننده های نانو صفحات گرافیت^{۲۶} روش سلسه مراتبی نانو کامپوزیت اپوکسی را با تقویت کننده های نانو صفحات گرافیت (GNP) مدل سازی کرده و تأثیر درصد حجمی^{۲۷} (VF) و نسبت قطر به ضخامت^{۲۸} ناصفحات را بر خواص نانو کامپوزیت بررسی کردند.

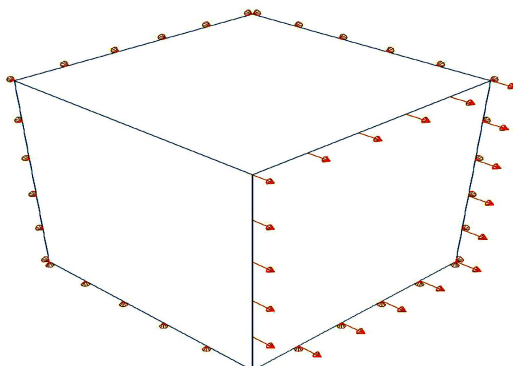
در نوشتار حاضر از روش سلسه مراتبی برای مدل سازی نانو کامپوزیت های تقویت شده با نانولله ها و نانو هلیکال های کربنی استفاده شده است. اتصال بین تقویت کننده ها و ماتریس به صورت اتصال کامل فرض شده است و تأثیر این دو نوع تقویت کننده به همراه درصد های حجمی متفاوت این دو بررسی شده است. با استفاده از کد پایتون نمودار تنش - کرنش هر یک از نمونه ها به دست آمده و نتایج با هم مقایسه شده اند.

۲. مدل سازی

یک جزء نماینده حجم (RVE) به صورت سه بعدی - شامل پلیمر و تقویت کننده ها در نرم افزار ABAQUS شبیه سازی شده است. با استفاده از کد برنامه نویسی

جدول ۲. شرایط مرزی نمونه‌ها.

EAST	BOTTOM	NORTH	WEST	صفحه مرزی
$U_1 \neq 0$	$U_2 = 0$	$U_2 = 0$	$U_1 = 0$	شرایط مرزی



شکل ۴. شرایط مرزی و نحوه بارگذاری مدل.

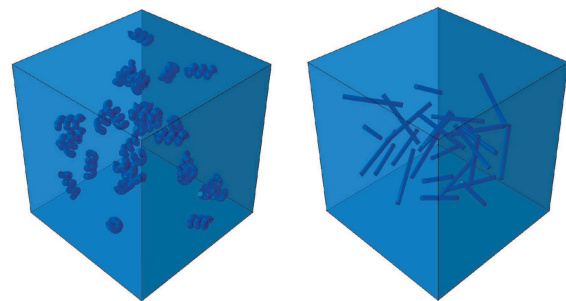
جایه‌جایی به تمام یک صفحه در جهت ۱ اعمال شده است. شرایط مرزی نمونه‌ها در شکل ۴ نشان داده شده است.

۳. مشبندی نمونه‌ها

در این تحقیق برای مشبندی جزء نماینده‌ی حجم به دلیل وجود پیچیدگی زیاد هندسی در آن از روش مشبندی آزاد ۲۲ استفاده شده است؛ همچنین از اجراء خطی هرمی چهارگوشه‌ی گرهی^{۲۳} C3D4 استفاده شده است. برای مشبندی تقویت‌کننده‌ها (نانولوله‌های کربنی و نانوهیلیکال‌های کربنی) از روش سوپ^{۲۴} و از اجراء ششوجهی C3D8R^{۲۵} استفاده شده است. اندازه و تعداد المان‌ها بر دقت جواب‌ها تأثیر زیادی دارند، از طرفی زیاد بودن المان‌ها باعث افزایش زمان حل می‌شود. بنابراین لازم است مقدار مناسبی برای تعداد المان‌ها انتخاب شود. هرچه درصد حجمی المان‌ها بیشتر شود، پیچیدگی مدل بیشتر و برای مشبندی به تعداد اجراء بیشتر نیاز است. در جزء نماینده‌ی حجم مش‌ها در نواحی اطراف حفره‌ها ریزنده که با رفتن به سمت لبه‌ها درشت‌تر می‌شوند. عدم واستگی جواب‌ها به تعداد مش‌ها بررسی شده است، طوری که نمودارهای به دست آمده برای اندازه اجراء متفاوت از یک نمونه، تا زمانی که نمودار ثابت شده و با کوچک‌تر شدن مش‌ها تغییری نکند. مشخص شد که با افزایش تعداد المان‌ها به بیش از یک میلیون تعداد، نمودار ثابت شده، به همین دلیل تمامی نمونه‌ها تعداد جزءی بیش از این مقدار دارند. در شکل ۵ نمونه‌یی مش خورده دیده می‌شود.

۴. مواد

نانولوله‌ی کربنی یک ماده با خواص ایزوتروپیک نیست و در راستاهای مختلف رفتارهای متفاوتی دارد، با این وجود در بسیاری از مطالعات به صورت ایزوتروپیک در نظر گرفته شده و این فرض نتایج قابل قبولی ارائه داده است. بنابراین در این پژوهش

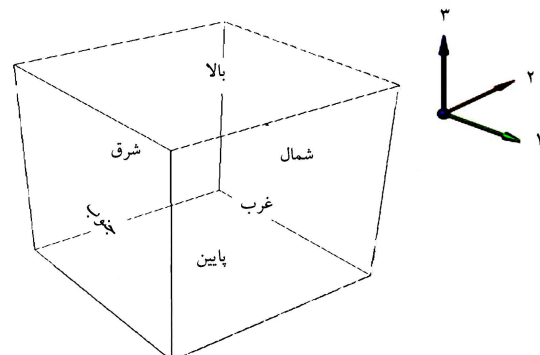


الف) نanolوله‌های کربنی؛ ب) نanolوله‌های کربنی.

شکل ۲. دو نمونه از RVE.

جدول ۱. مشخصات هندسی نانوذرات مورد استفاده.

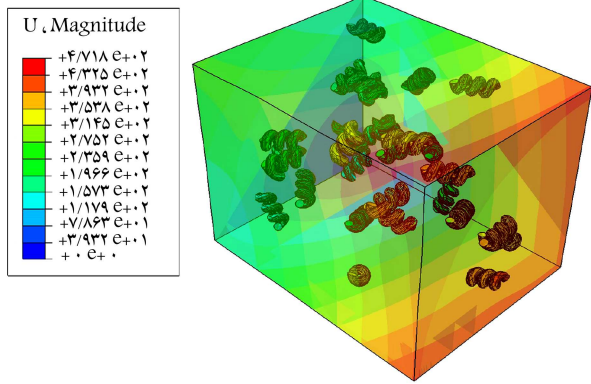
نوع نانوذرا	شماره نانوذرا	طول نانوذرا (nm)	قطر لوله نانوذرا (nm)	قطر خارجی نانوذرا (nm)	زاویه پیچ (°)
۳	۱۶۷/۱۳	۳۸۸/۹۷	۵۰۰	۴۰	۹۰
۲			-	۹۰	۵۰
۱				-	۹۰



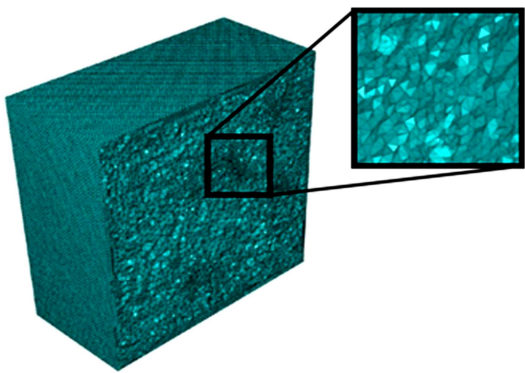
شکل ۳. نشانه‌گذاری سطوح برای مشخص کردن شرایط مرزی و بارگذاری نمونه‌ها.

تقویت‌کننده انتخاب شده است. این اندازه طوری انتخاب شده که با افزایش آن تغییر محسوسی در خواص نانوکامپوزیت ایجاد نشود.^[۲۴] بنابراین تعداد نانوذرات در هر یک از اجراء نماینده‌ی حجم با توجه به طول ماتریس، حجم ذرات و ضریب حجمی آن‌ها در جزء نماینده‌ی حجم محاسبه شده که در کمترین مقدار ۲۷ عدد نانوذرا ۸۱ عدد نانوذرا در ماتریس وجود دارد.

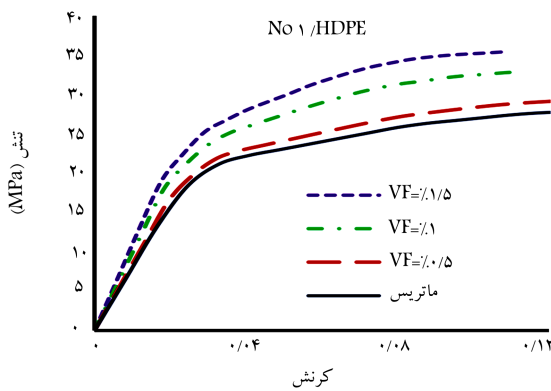
در جدول ۱ تقویت‌کننده‌های مورد استفاده نشان داده شده، که به منظور امکان مقایسه می‌ران تقویت‌کننده‌ی نمونه‌ها با یکدیگر و نیز برای این که تنها پارامتر هندسی تأثیرگذار تفاوت زاویه‌ی پیچ آن‌ها باشد، همگی حجم‌های یکسان دارند. در قسمت‌های بعدی برای راحتی کار نانوذرات استفاده شده در نمونه‌ها با شماره‌ی آن‌ها مشخص می‌شود. شرایط مرزی این مسئله با توجه به جایه‌جایی تنها در یک راستا اعمال شده است. برای مشخص شدن شرایط مرزی سطوح یک جزء نماینده‌ی حجم سطوح آن نانوگذاری شده (شکل ۳) و شرایط مرزی هر یک از سطوح مشخص شده است. شرایط مرزی در نرم‌افزار آباکوس در جدول ۲ ارائه شده است. چنان‌که در این جدول مشاهده می‌شود، سه صفحه در جهات مشخص شده ثابت شده‌اند و



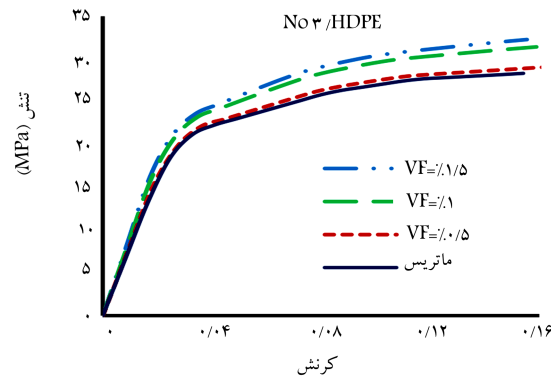
شکل ۶. نمونه‌ی RVE پس از بارگذاری.



شکل ۵. نمونه RVE مش خورده با $VF = 1/5$.



شکل ۷. بررسی اثر ضریب حجمی نانولوله‌های کربنی بر روی نمودار تنش - کرنش.



شکل ۸. بررسی اثر ضریب حجمی نانوهلیکال‌ها بر روی نمودار تنش - کرنش.

که نتایج حاصله در نمودار شکل ۱۲ دیده می‌شود. این نمودار حاکی از افزایش زیاد مقاومت کششی نمونه در صورت یکسان بودن جهت بارگذاری و نانولوله‌هاست. با محاسبه‌ی مدل کشسان به وسیله‌ی شبیه‌سازی نمودار تنش - کرنش در قسمت خطی آن، افزایش مدل کشسان نمونه‌ها با افزایش درصد حجمی تقویت‌کننده‌ی شماره ۱ در شکل ۱۳ نشان داده است. با توجه به شبیه‌سازی نمودارهای تنش - کرنش، افزایش مدل کشسان با افزایش درصد حجمی تقویت‌کننده‌ی شماره ۳ در شکل ۱۴ نشان داده است. می‌توان نتایج به دست آمده از شبیه‌سازی‌های نانوکامپوزیت تقویت شده با نانولوله‌های کربنی را با روش‌های تحلیلی موری تاناکا و هلپین تسوی مقایسه کرد.

فرض ایزوتropیک بودن نانولوله^[۱۰] و نانوهلیکال^[۳۶,۳۵] اعمال شده است. نانوذرات به صورت یک جسم معادل^[۳۶] مدل شده‌اند. بنابراین به محاسبه مدل کشسان نیاز است. برای محاسبه‌ی مدل کشسان نانوهلیکال کربنی، آن‌ها به صورت یک نانولوله مستقیم در نظر گرفته شده است.^[۲۴] با استفاده از تحقیقات انجام شده^[۳۷,۳۸] مدل کشسان نانوذرات محاسبه شده‌اند. ماتریس پایی اتیلن با چکالی بالا^(HDPE) با مدل کشسان^[۳۸] ۸ GPa در نظر گرفته شده است.

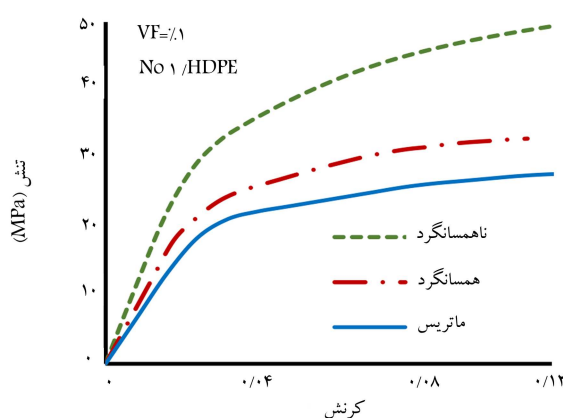
۵. نتایج

بعد از اعمال بارگذاری به صورت استاتیک،^[۲۸] خروجی با استفاده از یک کد پایتون در نرم‌افزار باز شده و میانگین حجمی مقادیر تنش و کرنش در هر جزء در ۲۰ باره‌ی زمانی محاسبه شده است، و نمودار تنش - کرنش با این ۲۰ نقطه رسم شده است.

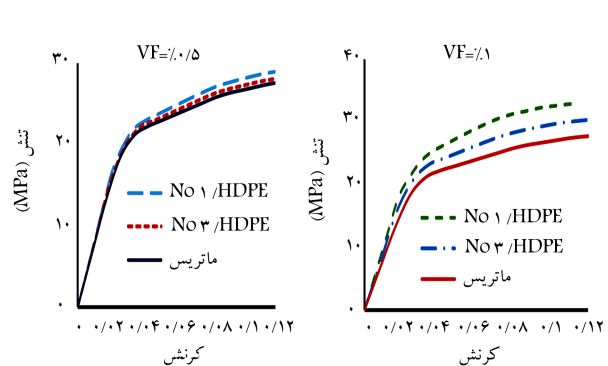
در شکل ۶ یک نمونه RVE تحت تنش قرار گرفته شده، دیده می‌شود.

در شکل ۷ تغییرات نمودار تنش - کرنش با درصد حجمی‌های مختلف نانولوله‌ی کربنی دیده می‌شود. همان‌طور که مشاهده می‌شود با افزایش مقدار ضریب حجمی مقاومت کششی نانوکامپوزیت افزایش نمودار تنش کرنش بهبود می‌یابد. این افزایش به دلیل افزایش فاز سخت در ماتریس است که با نتایج مراجع^[۴۰,۳۹] مطابقت دارد. در شکل ۸ اثر ضریب حجمی نانوهلیکال‌ها بر مقاومت کششی نانوکامپوزیت دیده می‌شود. چنان‌که مشاهده می‌شود با افزایش ضریب حجمی نانوهلیکال‌ها مقاومت کششی نمونه افزایش می‌یابد. این مشاهدات با نتایج به دست آمده از مطالعات پیشین^[۳۱] مطابقت دارد.

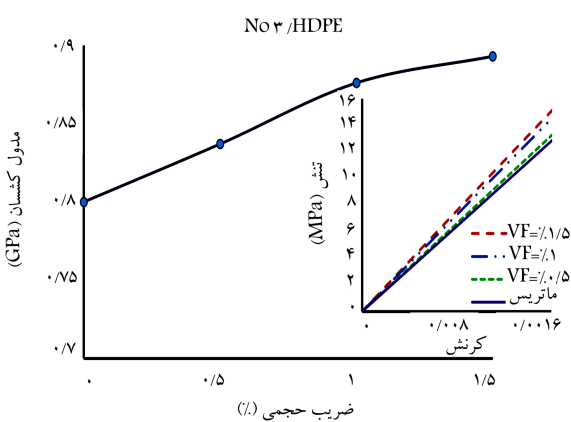
در شکل ۹ نمونه‌های No ۱/HDPE و No ۳/HDPE مقایسه شده‌اند. همان‌طور که مشاهده می‌شود نانولوله‌های کربنی خاصیت تقویت‌کننده‌ی بهتری نسبت به نانوهلیکال‌های کربنی دارند، و مدل نانوکامپوزیت با افزایش زاویه‌ی بیچ نانوذرات بهبود می‌یابند. شکل ۱۰ با مشاهدات خانی و همکارش^[۲۴] مطابقت دارد. برخی از مطالعات انجام شده با استفاده از فرمول‌های اشلی نشان داده که خاصیت تقویت‌کننده‌ی نانولوله‌های کربنی از نانوهلیکال‌های کربنی در راستای محور مرکزی خود بهتر است.^[۱۲] نانوهلیکال‌های کربنی نسبت به نانولوله‌های کربنی خاصیت ارتقایی بهتر و مدل کشسان‌کمتری دارند. با پراکندگی تقویت‌کننده‌ها به صورت تصادفی نانوکامپوزیت خاصیت همسانگری^[۳۹] دارد، یعنی خواص آن در همه‌ی جهات یکسان است. می‌توان تقویت‌کننده‌ها را در راستای بارگذاری قرار داد که در این صورت نانوکامپوزیت در جهات مختلف دارای خاصیت ناهمسانگری^[۴۰] است. برای بررسی این موضوع دو نانوکامپوزیت در شکل ۱۱ باهم مقایسه شده‌اند.



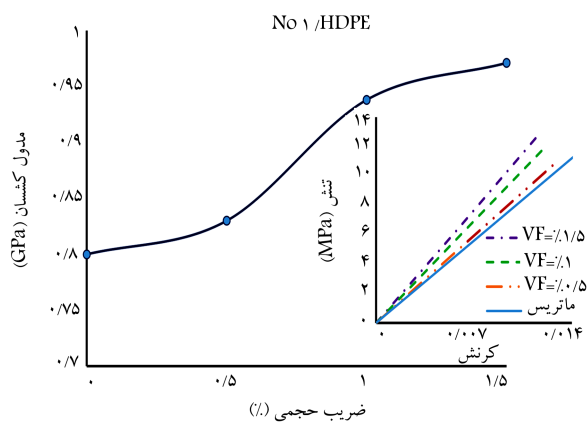
شکل ۱۲. بررسی اثر جهت قرارگیری نانولوله‌ها بر نمودار تنش - کرنش.



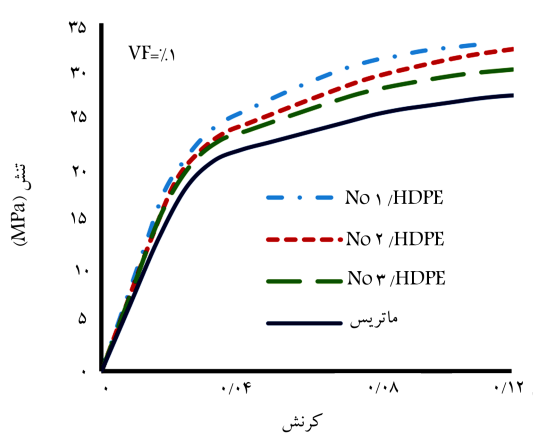
شکل ۹. مقایسه‌ی اثر تقویت‌کنندگی نانولوله‌ها و نانوهلیکال‌ها در ضرایب حجمی متفاوت.



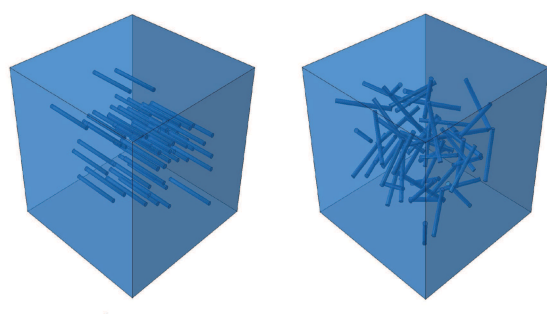
شکل ۱۳. مقدار مدول کشسان نانوکامپوزیت‌های حاوی نانولوله‌های کربنی با درصد حجمی‌های ۰,۵، ۱،۰ و ۱,۵.



شکل ۱۴. مقدار مدول کشسان نانوکامپوزیت‌های حاوی نانوهلیکال‌های کربنی در ضریب حجمی‌های ۰,۵، ۱،۰ و ۱,۵ درصد.

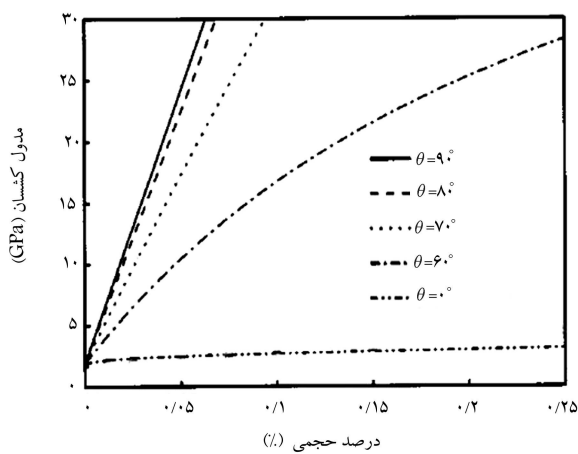


شکل ۱۰. تأثیر زاویه‌ی پیچ در نانوذرات در ضریب حجمی ۱٪ بر نمودار تنش - کرنش.



شکل ۱۱. نانوکامپوزیت با خاصیت: (الف) همسانگردی ب) ناهمانگردی.

(شکل ۱۵). این مقایسه نشان می‌دهد که روش‌های تحلیلی نسبت به روش اجزاء محدود، قدرت پیشتری در پیش‌بینی مدول کشسان دارند؛ همچنین روش هلپین ترسی نسبت به روش موری تاناکا تخمین بالاتری دارد، در حالی که روند تغییرات در این سه روش در یک راستاست. داده‌های روش موری تاناکا تنها اندکی بالاتر از داده‌های اجزاء محدود قرار دارد. در نمودار زیر Em و Ec مدول کشسان ماتریس و مدول مؤثر جزء نمایندهٔ حجم است.^[۲۴]



[۴۲] شکل ۱۷. تأثیر زاویه‌ی پیچ نانوذرات بر مدول کشسان کامپوزیت.

جدول ۴. مدل کشسان نمونه‌ها با زاویه پیچ متفاوت و ضریب حجمی ۱٪.

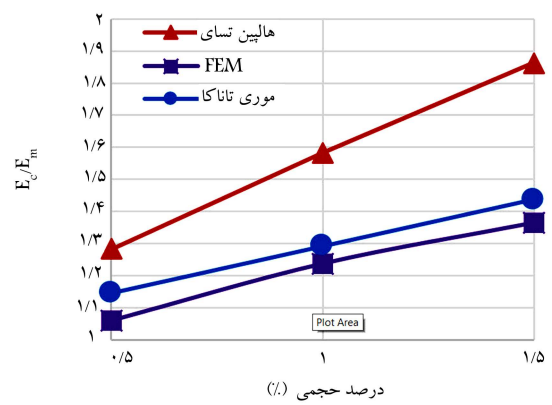
ناموکامپوزیت	(GPa)	مدول کشسان
Matrix	۰/۸۰	۰/۸۰
No _۱ /HDPE	۰/۹۳۸	۰/۹۳۸
No _۲ /HDPE	۰/۹۱۶	۰/۹۱۶
No _۳ /HDPE	۰/۸۷۶	۰/۸۷۶

جدول ۵. مدلول کشسان نمونه‌های همسانگرد و ناهمسانگرد.

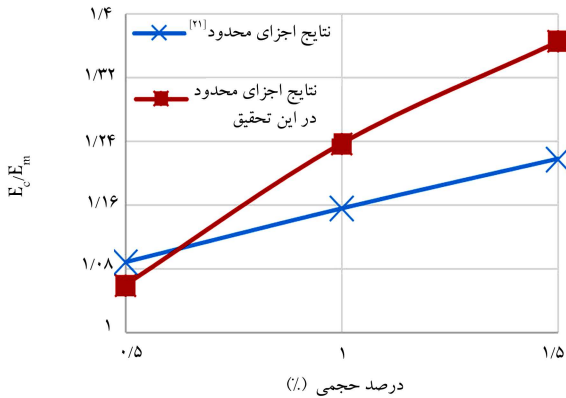
انوکامپوزیت (GPa)	مدول کشسانی °/٪	Matrix No \ / HDPE
نانو	۱/۳۵۲	isotropic
کربن	۰/۹۳۸	anistropic
پلی‌پروپیلن	۰/۸۰	Matrix

۶۔ نتیجہ گھری

با توجه به نمودارهای تنش - کرشن ارائه شده با افزودن نانولوله‌های کربنی و نانوهلیکال‌های کربنی به ماتریس مقاومت کششی نمونه افزایش می‌یابد، همچنین با توجه به شکل‌های ۷ و ۸ با افزایش ضربی حجمی تقویت‌کننده‌ها مدول کشسان نمونه‌ها افزایش یافته است. خاصیت تقویت‌کننگی نانولوله‌ها از نانوهلیکال‌ها بیشتر است و نتایج ارائه شده در جدول ۴ نشان‌دهنده افزایش مدول کشسان نمونه‌ها با افزایش زاویه‌ی پیچ نانوذرات است. در یک نمونه‌ی ۱ درصد حجمی برای یک نانوکامپوزیت تقویت شده با نانولوله‌های کربنی، ذرات به صورت موازی با جهت بارگذاری اعمال شده است؛ مشاهده می‌شود که در این صورت مقاومت کششی و مدول کشسان‌ها در نسبت به توزیع همسان‌گرد افزایش زیادی دارد به طوری که مدول در راستای بارگذاری برای نمونه ناهمسان‌گرد ۴/۵٪ برابر نمونه همسان‌گرد است.



شکل ۱۵. مقایسه‌ی نتایج شبیه‌سازی شده با جزء محدود با داده‌های شبیه‌سازی تحلیلی.



شکل ۱۶. مقایسه‌ی نتایج اجزاء محدود با روش‌های مختلف.

جدول ۳. مدول کشسان نانوکامپوزیت‌ها با نسبت‌های حجمی متفاوت.

نانوناکامپوزیت	درصد حجمی (%)	مدول کشسانان (GPa)
Matrix	-	٪ ۸۰
No ۱/HDPE	۱	٪ ۹۳
No ۳/HDPE	۱	٪ ۸۷

در شکل ۱۶ زیر داده‌های اجزاء محدود برای نانوکامپوزیت تقویت شده نانولولهای کربنی در^[۲] با داده‌های شبیه‌سازی شده در این تحقیق مقایسه شده‌اند. روند تغییرات نتایج مشابه با هم با اندکی اختلاف دیده می‌شود، که این اختلاف می‌تواند به دلیل شرایط مرزی متفاوت نمونه و ضریب منظری مختلف تقویت‌کننده‌ها باشد. همچنین نسبت مدول کشسان زمینه به مدول کشسان مؤثر برای نانوکامپوزیت تقویت شده با نانوزردی شماره ۲ (با زاویه‌ی پیچ ۵۰ درجه) در ضریب حجمی ۱/۱۴ محاسبه شده است درحالی که در مطالعات قبلی^[۲] این مقدار ۱/۵۹ است. نتایج به دست آمده در اینجا با تأثیر زاویه پیچ نانوذرات بر خواص نانوکامپوزیت در این تحقیق با مشاهدات^[۳] و همکاراش مطابقت دارد. همانطور که در شکل ۱۷ دیده می‌شود با کاهش^[۴] زاویه پیچ (۰) مدول کشسان نمونه افزایش کمتری داشته است. در واقع نانولولهای کربنی خاصیت تقویت کننده‌ی بهتری نسبت نانولوکالهای کربنی دارد.^[۲]

پابنوه‌ها

1. Carbon nanotube
2. Coiled Carbon nanotube
3. ABAQUS
4. volume fraction
5. Ijima
6. aspect ratio
7. Haggenmueller
8. chemical vapor deposition
9. coiled carbon nanotube
10. Ihara
11. Zhang
12. scanning electron microscopy
13. Li
14. nano-indentation
15. Lau
16. eshelbi
17. Mori-Tanaka
18. Halpin-Tsi
19. molecular dynamics
20. molecular mechanism
21. continuum mechanism
22. Chen
23. single wall carbon nanotube
24. poly phenylacetylene
25. frankland
26. graphite nanoplate
27. volume fraction
28. aspect ratio
29. reprehensive volume element
30. Monte cCarlo
31. Tie
32. free mesh
33. tetrahedral elements
34. sweep mesh
35. hexahedral
36. equivalent solid element
37. high density polyethylene
38. static, general
39. isotropic
40. anisotropic
41. Shi

منابع (References)

1. Frank, I., Tanenbaum, D.M., Van der Zande, A. and et al. "Mechanical properties of suspended graphene sheets", *Journal of Vacuum Science & Technology B*, **25**, pp. 2558-2561, (2007).
2. Fukushima, H., Drzal, L.T., Rook, B.P. and et al. "Thermalconductivity of exfoliated graphite nanocomposites", *Journal of Thermal Analysis and Calorimetry*, **85**, pp. 235-238, (2006).
3. Drzal, L.T. and Fukushima, H. "Exfoliated graphite nanoplatelets (xGnP): a carbon nanotube alternative", *Proceedings of NSTI Nanotechnology Conference and Trade Show*, (2006).
4. Thostenson, E.T., Ren, Z. and Chou, T.-W. "Advances in the science and technology of carbon nanotubes and their composites: a review", *Composites science and technology*, **61**(13), pp. 1899-1912, (2001).
5. Safaei, M., Sheidaei, A., Baniassadi, M. and et al. "An interfacial debonding-induced damage model for graphite nanoplatelet polymer composites", *Computational Materials Science*, **96**, pp. 191-199, (2015).
6. Alexandre, M. and Dubois, P. "Polymer layered silicate nanocomposites: preparation, properties and uses of a new class of materials", *Materials Science and Engineering: R: Reports*, **28**, pp. 1-63, (2000).
7. Lau, K.T., Lu, M. and Hui, D. "Coiled carbon nanotubes: Synthesis and their potential applications in advanced composite structures", *Composites Part B: Engineering*, **37**, pp. 437-448, (2006).
8. Iijima, S. "Helical microtubules of graphitic carbon", *nature*, **354**, pp. 56-58, (1991).
9. Li, C. and Chou, T.-W. "Elastic moduli of multi-walled carbon nanotubes and the effect of van der Waals forces", *Composites Science and Technology*, **63**, pp. 1517-1524, (2003).
10. Yu, M.-F., Lourie, O., Dyer, M.J. and et al. "Strength and breaking mechanism of multiwalled carbon nanotubes under tensile load", *Science*, **287**, pp. 637-640, (2000).
11. Yu, M.-F., Files, B.S., Arepalli, S. and et al. "Tensile loading of ropes of single wall carbon nanotubes and their mechanical properties", *Physical review letters*, **84**, p. 5552, (2000).
12. Cherusseri, J., Sharma, R. and Kar, K.K. "Helically coiled carbon nanotube electrodes for flexible supercapacitors", *Carbon*, **105**, pp. 113-125, (8/2016).
13. Thostenson, E.T. and Chou, T.-W. "On the elastic properties of carbon nanotube-based composites: modelling and characterization", *Journal of Physics D: Applied Physics*, **36**, p. 573, (2003).
14. Mahdavi, M., Yousefi, E., Baniassadi, and et al. "Effective thermal and mechanical properties of short carbon fiber/natural rubber composites as a function of mechanical loading", *Applied Thermal Engineering*, **117**, pp. 8-16, (2017).
15. Ma, P.C., Kim, J.-K. and Tang, B.Z. "Effects of silane functionalization on the properties of carbon nanotube/epoxy nanocomposites", *Composites Science and Technology*, **67**, pp. 2965-2972, (2007).
16. Park, H.J., Badakhsh, A., Im, I.T. and et al. "Experimental study on the thermal and mechanical properties of MWCNT/polymer and Cu/polymer composites", *Applied Thermal Engineering*, **107**, pp. 907-917, (2016).
17. Haggenmueller, R., Gommans, H., Rinzler, and et al. "Aligned single-wall carbon nanotubes in composites by melt processing methods", *Chemical physics letters*, **330**, pp. 219-225, (2000).
18. Terrones, M. "Science and technology of the twenty-first century: synthesis, properties, and applications of carbon nanotubes", *Annual review of materials research*, **33**, pp. 419-501, (2003).
19. Itoh, S., Ihara, S. and Kitakami, J.-i. "Toroidal form of carbon C 360", *Physical Review B*, **47**, p. 1703, (1993).
20. Zhang, X., Zhang, X., Bernaerts, D., Van Tendeloo, S. and et al. "The texture of catalytically grown coil-shaped carbon nanotubules", *EPL (Europhysics Letters)*, **27**, p. 141, (1994).

21. Biro, L., Gyulai, J., Lambin, P. and et al. "Scanning tunnelling microscopy (STM) imaging of carbon nanotubes", *Carbon*, **36**, pp. 689-696, (1998).
22. Li, X.-F., Lau, K.-T. and Yin, Y.-S. "Mechanical properties of epoxy-based composites using coiled carbon nanotubes", *Composites science and technology*, **68**, pp. 2876-2881, (2008).
23. Wang, J., Kemper, T., Liang, T. and Sinnott, S.B. "Predicted mechanical properties of a coiled carbon nanotube", *Carbon*, **50**, pp. 968-976, (2012).
24. Khani, N., Yildiz, M. and Koc, B. "Elastic properties of coiled carbon nanotube reinforced nanocomposite: A finite element study", *Materials & Design*, **109**, pp. 123-132, (2016).
25. Lau, K.-t., Lu, M. and Liao, K. "Improved mechanical properties of coiled carbon nanotubes reinforced epoxy nanocomposites", *Composites Part A: Applied Science and Manufacturing*, **37**, pp. 1837-1840, (2006).
26. Gou, J., Liang, Z., Zhang, C. and Wang, B. "Computational analysis of effect of single-walled carbon nanotube rope on molecular interaction and load transfer of nanocomposites", *Composites Part B: Engineering*, **36**, pp. 524-533, (2005).
27. Odegard, G., Clancy, T. and Gates, T. "Modeling of the mechanical properties of nanoparticle/polymer composites", *Polymer*, **46**, pp. 553-562, (2005).
28. Li, Y. and Seidel, G.D. "Multiscale modeling of the effects of nanoscale load transfer on the effective elastic properties of unfunctionalized carbon nanotube-polyethylene nanocomposites", *Modelling and Simulation in Materials Science and Engineering*, **22**, p. 025023, (2014).
29. Chen, H., Xue, Q., Zheng, Q. and et al. "Influence of nanotube chirality, temperature, and chemical modification on the interfacial bonding between carbon nanotubes and polyphenylacetylene", *The Journal of Physical Chemistry C*, **112**, pp. 16514-16520, (2008).
30. Liao, k. and Li, S. "Interfacial characteristics of a carbon nanotube-polystyrene composite system", *Applied Physics Letters*, **79**, pp. 4225-4227, (2001).
31. Rahmat, M. and Hubert, P. "Molecular dynamics simulation of single-walled carbon nanotube-PMMA interaction", in *Journal of Nano Research*, pp. 117-128, (2012).
32. Frankland, S., Caglar, A., Brenner, D. and et al. "Molecular simulation of the influence of chemical cross-links on the shear strength of carbon nanotube-polymer interfaces", *The Journal of Physical Chemistry B*, **106**, pp. 3046-3048, (2002).
33. Weisstein, E. and Lorenz Attractor, M.-A. "Sphere Point Picking. MathWorld-A Wolfram web resource", ed, (2002).
34. Yves, R., Ahzi, S., Baniassadi, M. and et al. *Applied RVE Reconstruction and Homogenization of Heterogeneous Materials: John Wiley & Sons*, (2016).
35. Volodin, A., Ahlskog, M., Seynaeve, E. and et al. "Imaging the elastic properties of coiled carbon nanotubes with atomic force microscopy", *Physical review letters*, **84**, p. 3342, (2000).
36. Ju, S.-P., Lin, J.-S., Chen, H.-L. and et al. "A molecular dynamics study of the mechanical properties of a double-walled carbon nanocoil", *Computational Materials Science*, **82**, pp. 92-99, (2014).
37. Lu, J.P. "Elastic properties of carbon nanotubes and nanoropes", *Physical Review Letters*, **79**, p. 1297, (1997).
38. Kwon, H. and Jar, P.-Y. "On the application of FEM to deformation of high-density polyethylene", *International Journal of Solids and Structures*, **45**, pp. 3521-3543, (2008).
39. Golestanian,H. and Gahruei, M. "Effective mechanical properties of nanocomposites reinforced with wavy carbon nanotubes", *Materials Science and Technology*, **29**, pp. 913-920, (2013).
40. Arash, B., Park, H.S. and Rabczuk, T. "Mechanical properties of carbon nanotube reinforced polymer nanocomposites: a coarse-grained model", *Composites Part B: Engineering*, **80**, pp. 92-100, (2015).
41. Mortazavi, B., Baniassadi, M., Bardon, J. and et al. "Modeling of two-phase random composite materials by finite element, Mori-Tanaka and strong contrast methods", *Composites Part B: Engineering*, **45**, pp. 1117-1125, (2/2013).
42. Shi, D.-L., Feng, X.-Q. Huang, Y.Y. and et al. "The effect of nanotube waviness and agglomeration on the elastic property of carbon nanotube-reinforced composites", *Journal of Engineering Materials and Technology*, **126**, pp. 250-257, (2004).